

УДК 532.5: 533.6

## КИНЕМАТИЧЕСКАЯ ЗАДАЧА ОБТЕКАНИЯ ПРОИЗВОЛЬНО ДВИЖУЩЕГОСЯ ПРОФИЛЯ ИДЕАЛЬНОЙ НЕСЖИМАЕМОЙ ЖИДКОСТЬЮ

А. И. Зобнин

Омский филиал Института математики им. С. Л. Соболева СО РАН, 644099 Омск  
E-mail: alzobnin@mail.ru

Решена нестационарная кинематическая задача для произвольного плоского движения профиля в идеальной несжимаемой жидкости с образованием одного и двух вихревых следов. Задача решалась методом конформного отображения области течения на внешность круга, при этом анализировались особенности решения в окрестности острой кромки и учитывалась начальная асимптотика решения. Установлено, что результаты расчетов хорошо согласуются с имеющимися экспериментальными данными по визуализации картины течения. Показана необходимость корректного моделирования начальной стадии формирования вихревых следов. Установлено, что регулярная картина течения формируется по истечении трех и более периодов колебаний.

Ключевые слова: профиль, плоская задача, идеальная жидкость, вихревой след.

При решении задач обтекания профилей идеальной несжимаемой жидкостью широко применяется метод конформных отображений. При этом в общем случае произвольного закона движения контура картина течения может быть построена тем же способом, что и в работе [1]. Однако, как отмечено в [1], при использовании этого способа даже для простейших законов движения профиля требуется ряд громоздких выкладок. Наиболее просто задача решается в случае поступательного движения [2–6]. В [1] также приведено предложение, облегчающее получение эффективных выражений для решения в случае, когда учитывается вращение. Тем не менее даже после упрощения конкретная реализация при организации численного расчета не является простой.

В настоящей работе предлагается решение задачи обтекания профилей с образованием вихревых следов, моделируемых тангенциальными разрывами поля скоростей, методом конформного отображения. Предложенный подход, в отличие от рассмотренного в [1], более удобен при численной реализации решения задачи, что особенно актуально, если движение профиля не является строго поступательным. Закон движения определяется перемещением фиксированного в некоторой связанной с профилем системе координат центра и поворотом обтекаемого контура неизменной формы вокруг выбранной точки.

**1. Постановка задачи.** Рассматривается плоское нестационарное течение идеальной несжимаемой жидкости вблизи профиля при условии отсутствия массовых сил и начальной завихренности (в этом случае имеет место теорема Томсона). Профиль движется в плоскости по произвольному закону из состояния покоя. Обтекание происходит с образованием вихревых следов в виде линий разрыва скорости, сходящихся с острых и гладких кромок. Вне обтекаемого контура и линий разрыва течение считается потенциальным, скорости частиц жидкости — конечными.

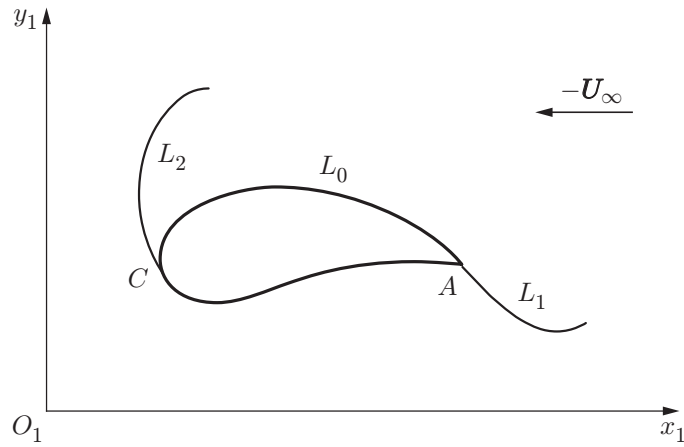


Рис. 1. Схема задачи

Введем неподвижную прямоугольную систему координат  $O_1x_1y_1$ , в бесконечно удаленной точке которой жидкость покоится. Предположим, что точки контура движутся со скоростью  $-\mathbf{U}_\infty(x_1, y_1, t)$  (рис. 1).

Для определения скорости частиц жидкости  $\mathbf{v}(x_1, y_1, t)$  сформулируем следующую начально-краевую задачу. Обозначим через  $L_0$  контур профиля, через  $L_1$  и  $L_2$  — контуры следов (линий тангенциального разрыва скорости). Вне контура  $L = L_0 + L_1 + L_2$  движение жидкости удовлетворяет уравнению Эйлера

$$\frac{d\mathbf{v}}{dt} = -\frac{1}{\rho} \nabla p$$

( $\rho$  — плотность;  $p$  — давление), а также уравнению неразрывности и условию потенциальности:

$$\operatorname{div} \mathbf{v} = 0, \quad \operatorname{rot} \mathbf{v} = 0.$$

В точках контура  $L_0$  должно выполняться условие непротекания

$$(\mathbf{v} + \mathbf{U}_\infty) \cdot \mathbf{n}_0 = 0 \quad \text{при} \quad (x_1, y_1) \in L_0(t),$$

на вихревых следах — условия отсутствия перепада давления:

$$[p] = 0 \quad \text{при} \quad (x_1, y_1) \in L_1(t), \quad (x_1, y_1) \in L_2(t)$$

и непрерывности нормальной к следу компоненты скорости жидкости:

$$\mathbf{v} \cdot \mathbf{n} = v_n \quad \text{при} \quad (x_1, y_1) \in L_1(t), \quad (x_1, y_1) \in L_2(t),$$

а в бесконечно удаленной точке — условие затухания возмущенных скоростей

$$\lim \mathbf{v} = 0 \quad \text{при} \quad (x_1, y_1) \rightarrow \infty.$$

Кроме того, в точках схода вихревых следов будем требовать выполнения постулата Чаплыгина — Жуковского

$$|\mathbf{v}| < \infty \quad \text{при} \quad (x_1, y_1) \rightarrow (x_{1A}, y_{1A}), \quad (x_1, y_1) \rightarrow (x_{1C}, y_{1C}).$$

В качестве начальных данных принимаются следующие условия:

$$\mathbf{v}|_{t=0} = 0, \quad \mathbf{U}_\infty|_{t=0} = 0, \quad L|_{t=0} = L_0|_{t=0}.$$

В приведенных выше формулах  $\mathbf{n}_0$ ,  $\mathbf{n}$  — единичные орты к  $L_0$  и  $L_1 + L_2$  соответственно;  $(x_{1A}, y_{1A})$ ,  $(x_{1C}, y_{1C})$  — координаты точек схода;  $v_n$  — скорость движения точек следа в направлении нормали.

Сформулированная начально-краевая задача разделяется на две: 1) краевая задача Римана — Гильберта об определении поля скоростей в каждый момент времени [2]; 2) задача Коши для интегродифференциального уравнения движения точек вихревых следов.

1.1. *Формулировка задачи Римана — Гильберта.* Рассмотрим профиль и вихревые следы в некоторый фиксированный момент времени  $t > 0$  в комплексной плоскости  $z_1 = x_1 + iy_1$  (см. рис. 1). Пусть контуры следов  $L_1, L_2$  с направлениями обхода от точки схода к свободному концу и их интенсивности известны. Тогда для комплексной скорости частиц жидкости  $\bar{v}(t, z_1)$  можно сформулировать краевую задачу о построении вне контуров  $L_0, L_1, L_2$  функции  $\bar{v}(t, z_1)$ , удовлетворяющей следующим условиям:

- 1)  $\bar{v}(t, z_1)$  — аналитическая функция комплексной переменной  $z_1$ ;
- 2) жидкость не проникает через контур  $L_0$  (условие непротекания):

$$\operatorname{Re} [n_0(\zeta) \bar{v}(\zeta)] = -\operatorname{Re} [n_0(\zeta) \bar{U}_\infty], \quad \zeta \in L_0$$

( $n_0(\zeta)$  — комплексная форма записи единичного орта нормали к  $L_0$ ;  $-\bar{U}_\infty$  — комплексная скорость точек профиля);

- 3) комплексная скорость  $\bar{v}(t, z_1)$  имеет заданный скачок  $\gamma$  на линиях  $L_1, L_2$ :

$$\bar{v}^+(\zeta) - \bar{v}^-(\zeta) = \gamma(\zeta), \quad \zeta \in L_1 + L_2$$

( $\bar{v}^+, \bar{v}^-$  — предельные значения  $\bar{v}(t, z_1)$  при подходе к контуру  $L_1$  или  $L_2$  справа и слева соответственно);

- 4) комплексная скорость  $\bar{v}(t, z_1)$  затухает на бесконечности:

$$\bar{v}(t, z_1) \rightarrow 0 \quad \text{при} \quad |z_1| \rightarrow \infty;$$

5) функция  $\bar{v}(t, z_1)$  всюду конечна в области своего определения (в том числе выполняется условие Чаплыгина — Жуковского):

$$|\bar{v}(t, z_1)| < \infty;$$

6) циркуляция скорости по любому замкнутому жидкому контуру, охватывающему профиль и вихревые следы, равна нулю (выполняется теорема Томсона):

$$\Gamma_0 = 0$$

( $\Gamma_0$  — циркуляция скорости вокруг контура  $L = L_0 + L_1 + L_2$ ).

Задача 1–6 является задачей Римана — Гильберта и допускает единственное решение, если заданы контур  $L = L_0 + L_1 + L_2$  и скачок скорости  $\gamma$  [7].

1.2. *Задача Коши для интегродифференциального уравнения движения точек вихревого следа.* С учетом решения  $\bar{v}(t, z_1)$  задачи Римана — Гильберта 1–6 и первого интеграла системы уравнений исходной задачи (интеграла Коши — Лагранжа)

$$p = p_\infty - \rho \left[ \frac{\partial}{\partial t} \operatorname{Re} \left( \int_{z_0}^{z_1} \bar{v}(z) dz \right) + \frac{1}{2} v \bar{v} \right]$$

из условия отсутствия скачка давления на контурах следов следует, что циркуляция  $\Gamma$  в точке вихревого следа, отсчитываемая от его свободного конца, сохраняется в точках, движущихся со скоростью  $\bar{v}^0 = (\bar{v}^+ + \bar{v}^-)/2$ . Здесь  $p_\infty$  — давление в бесконечно удаленной точке.

Если контур вихревого следа ( $L_1$  или  $L_2$ ) задать в параметрическом виде  $\zeta = \zeta(t, \Gamma)$ , то для определения движения его точек получим следующую задачу Коши для интегродифференциального уравнения:

$$\frac{\partial \bar{\zeta}}{\partial t}(t, \Gamma) = \bar{v}^0(t, \zeta(t, \Gamma)), \quad \zeta(t, \Gamma)|_{t=0, \Gamma=0} = \zeta^*(t)|_{t=0}.$$

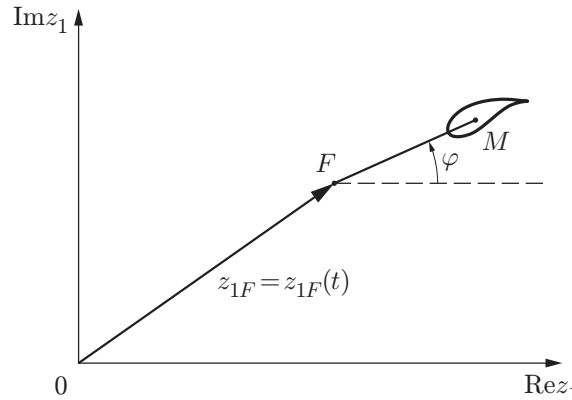


Рис. 2. Схема движения профиля

Здесь  $\zeta^*$  — комплексная координата точки схода ( $L_1$  или  $L_2$ ). Решение сформулированной задачи Коши следует строить в области  $t \geq 0, 0 \leq \Gamma \leq \Gamma^*(t)$ , где  $\Gamma^*(t)$  — значение циркуляции  $\Gamma$  в точке схода следа. Предполагается, что решение  $\zeta(t, \Gamma)$  обеспечивает непрерывность  $\bar{v}$  по  $z_1$  во всей области течения вне  $L$ , непрерывность  $\bar{v}$  по  $t$  вплоть до начального момента времени, а также конечность поля скоростей (в том числе выполнение условия Чаплыгина — Жуковского). Кроме того, потребуем, чтобы для каждого значения  $t > 0$  вторая производная от функции  $\Gamma(\zeta)$  принадлежала классу  $H^*$  в окрестности свободного конца следа и классу  $H$  на остальной его части [7].

**2. Решение задачи.** Пусть в комплексной плоскости  $z_1 = x_1 + iy_1$ , связанной с инерциальной декартовой системой координат  $O_1x_1y_1$ , в бесконечно удаленной точке которой жидкость покоится, в каждый момент времени задано движение некоторого центра  $F$  вращения профиля  $z_{1F} = z_{1F}(t)$ . Пусть также определен угол  $\varphi(t)$  поворота профиля, отсчитываемый от действительной оси (рис. 2).

Предполагается, что известно конформное отображение внешности обтекаемого контура на внешность круга, лежащего в другой комплексной плоскости. В [1] получена формула для потенциала нестационарного течения при движении профиля с вращением в предположении, что отображение является рациональной функцией. В настоящей работе будем считать, что контур является профилем Кармана — Треффтца с параметрами  $a, h, d, \delta$ , определяющими его хорду, искривление, толщину и угол острой кромки соответственно. Это означает, что в момент времени  $t$  можно ввести комплексную плоскость  $\tilde{z}_2$  (рис. 3), такую что отображение

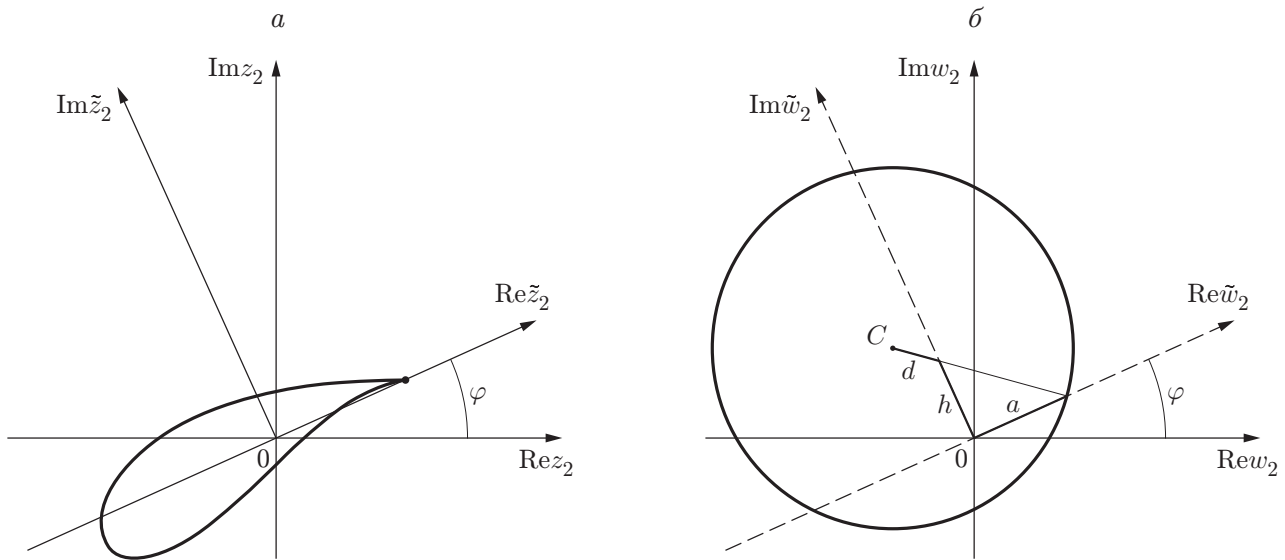
$$\frac{\tilde{z}_2 - \delta_1 a}{\tilde{z}_2 + \delta_1 a} = \left( \frac{\tilde{w}_2 - a}{\tilde{w}_2 + a} \right)^{\delta_1}, \quad \delta_1 = 2 - \delta \tag{1}$$

будет переводить внешнюю по отношению к профилю область в этой плоскости на внешность круга в плоскости  $\tilde{w}_2$ . Оси  $\text{Re } \tilde{z}_2, \text{Im } \tilde{z}_2$  образуют с осями  $\text{Re } \tilde{z}_1, \text{Im } \tilde{z}_1$  угол  $\varphi$ . Точка  $M$  на рис. 2 соответствует точке  $\tilde{z}_2 = 0$ . Положение этой точки относительно профиля для каждого контура Кармана — Треффтца определено однозначно. После замены  $\tilde{z}_2 = z_2 e^{-i\varphi}, \tilde{w}_2 = w_2 e^{-i\varphi}$  преобразование (1) переходит в отображение

$$\frac{z_2 - \delta_1 a e^{i\varphi}}{z_2 + \delta_1 a e^{i\varphi}} = \left( \frac{w_2 - a e^{i\varphi}}{w_2 + a e^{i\varphi}} \right)^{\delta_1}, \quad \delta_1 = 2 - \delta, \tag{2}$$

которое переводит поворачивающийся на угол  $\varphi$  профиль в окружность, вращающуюся синхронно с ним вокруг начала координат (см. рис. 3).

Решение краевой задачи Римана — Гильберта удобно строить в плоскости  $w$ , оси которой параллельны осям  $\text{Re } w_2, \text{Im } w_2$ , а начало координат находится в точке  $w_{2C}(t)$  —

Рис. 3. Комплексные плоскости  $z_2$  (а) и  $w_2$  (б)

центре окружности  $C$ :  $w = w_2 - w_{2C}(t)$ . Область построения решения является канонической, что позволяет применить инверсию следов относительно окружности для получения функции в явном виде. Кроме того, решение остается потенциальным, поэтому потенциал как функция пространственной переменной  $w$  может быть найден в виде суммы потенциалов, один из которых индуцирован вихревыми следами.

Если точка схода следа является регулярной точкой отображения (в случае гладкой кромки), то условие 5 Чаплыгина — Жуковского (как и условия 1, 2), в плоскости  $w$  имеет тот же вид, что и в исходной плоскости  $z_1$ . В случае острой кромки конформность отображения нарушается, тип особенности зависит от типа кромки, и в плоскости  $w$  отображение должно иметь нуль соответствующего порядка в этой точке. Условие затухания на бесконечности (условие 4) преобразуется с учетом результатов анализа асимптотики производной отображения (2) на бесконечности. В силу того что при  $z_2 \rightarrow \infty$   $\partial w_2 / \partial z_2 = 1$ , при переходе из плоскости  $z_2$  в плоскость  $w_2$  условие на бесконечности не изменяется:

$$-U_0 = -\frac{dz_{1F}(t)}{dt} + iz_* e^{i\varphi} \varphi'.$$

Здесь  $z_*$  — комплексная координата  $z_2$  центра вращения профиля в момент времени  $t = 0$ ; штрих означает дифференцирование по времени. Так как центр  $C$  плоскости  $w$  вращается вокруг точки  $w_2 = 0$  со скоростью  $dw_{2C}(t)/dt = i\varphi' e^{i\varphi} w_{2C}(0)$ , условие на бесконечности в этой плоскости (условие 4) окончательно записывается в виде

$$-U_\infty = -\frac{dz_{1F}(t)}{dt} + i\varphi' e^{i\varphi} (z_* - w_{2C}(0)).$$

Если в момент времени  $t$  заданы вихревые следы (их форма и интенсивность), то с учетом сказанного выше решение задачи Римана — Гильберта можно представить в виде [7]

$$\frac{\partial \hat{\Phi}}{\partial w} = (-\bar{U}_\infty) - \frac{R^2(-U_\infty)}{w^2} + \frac{1}{2\pi i} \sum_{j=1,2} \int_0^{\Gamma_j^*} \left( \frac{1}{\zeta_j - w} - \frac{1}{R^2/\zeta_j - w} \right) d\Gamma_j. \quad (3)$$

Здесь  $\hat{\Phi}$  — потенциал в плоскости  $w$ ;  $R$  — радиус окружности;  $\zeta_j$  — текущая точка  $j$ -го следа;  $\Gamma_j, \Gamma_j^*$  — суммарные интенсивности  $j$ -го следа в точке  $\zeta_j$  и во всем  $j$ -м следе соответственно.

Построенное для канонической области решение (3) позволяет получить решение исходной кинематической задачи. Для этого нужно учесть связь потенциала  $\hat{\Phi}(w)$  плоскости  $w$  с потенциалом абсолютного движения  $\Phi_1(z_1)$ . Действительно, так как  $\partial z_2/\partial t = \partial z_1/\partial t - U_0$  и  $\partial\Phi_1/\partial z_2 = \partial\Phi/\partial z_2 + \bar{U}_0$ , то уравнение для частиц жидкости

$$\frac{\partial \bar{z}_2}{\partial t} = \frac{\partial \Phi_1}{\partial z_1} \quad (4)$$

можно записать в виде  $\partial \bar{z}_2/\partial t = \partial\Phi/\partial z_2$ . Потенциал  $\Phi$  в плоскости  $z_2$  можно выразить через потенциал в области  $w_2$  с помощью производной отображения:  $\partial\Phi/\partial z_2 = (\partial\Phi/\partial w_2)(\partial w_2/\partial z_2)$ . В свою очередь решение в плоскости  $w_2$  с потенциалом  $\Phi(w_2)$  связано с потенциалом  $\hat{\Phi}(w_2)$  формулой  $\partial\Phi/\partial w_2 = \partial\hat{\Phi}/\partial w_2 + dw_{2C}/dt$ . В последнем равенстве  $\hat{\Phi}(w_2)$  совпадает с потенциалом  $\hat{\Phi}(w)$  из (3), выраженным через переменную  $w_2$ . Таким образом, искомую связь потенциалов можно записать в виде равенства

$$\frac{\partial \Phi_1}{\partial z_1} = \bar{U}_0 + \frac{\partial w_2}{\partial z_2} \left( \frac{\partial \hat{\Phi}}{\partial w} + \frac{dw_{2C}}{dt} \right). \quad (5)$$

Соотношения (3), (5) определяют решение краевой задачи для функции комплексной скорости в исходных переменных. Решение (5) является достаточно простым и используется при численном решении задачи Коши для определения движения точек вихревого следа.

Уравнение задачи, описывающей эволюцию вихревых следов, следует из (3)–(5) и динамического условия на пелене:

$$\frac{\partial \bar{z}_1}{\partial t} = \bar{U}_0 + \frac{\partial w_2}{\partial z_2} \left( \frac{\partial \hat{\Phi}_0}{\partial w} + \frac{dw_{2C}}{dt} \right). \quad (6)$$

Здесь  $\partial\hat{\Phi}_0/\partial w$  — интеграл в смысле главного значения. Задача Коши для функций  $z_1(t, \Gamma_j)$ ,  $j = 1, 2$  получается путем присоединения к (6) начальных данных состояния покоя и данных, соответствующих отсутствию вихревых следов. При этом следует рассматривать только те решения, которые удовлетворяют условию Чаплыгина — Жуковского. Это означает, в частности, что след и профиль должны иметь общую касательную в точках схода.

Сформулированная задача является нелинейной, так как для каждого следа граница области построения решения  $t \geq 0$ ,  $0 \leq \Gamma_j \leq \Gamma_j^*$ ,  $j = 1, 2$  заранее неизвестна и подлежит определению наряду с построением искомым функций. Другой особенностью задачи является неустойчивость решения в смысле Адамара, что требует особой тщательности при моделировании начальной стадии формирования вихревых следов. Не рассматривая этот вопрос подробно, отметим, что развитый в работах [8–10] подход для различных типов кромок профилей в случае поступательного движения может быть распространен на случай произвольного плоского перемещения профиля.

С теоретической и практической точек зрения большое значение имеет характер соотношений, описывающих сход завихренности. Как показывают численные исследования (см., например, [2]), вклад вихревых следов играет определяющую роль в формировании сил, действующих на профиль. В свою очередь влияние ближайшего к точке схода участка следа, в частности его формы и интенсивности, на параметры следующей сходящей завихренности также существенно [2]. Сходимость интегралов в правой части (6) в особых точках сопряжения следов с обтекаемым контуром следует из характера изменения интенсивности вихревого следа вблизи кромки [10] и равенства кривизны вихревого следа в точке схода кривизне линии профиля.

Для поступательного закона движения соотношения для схода завихренности приведены в [2]. В рассматриваемом случае соотношения аналогичны с тем лишь отличием, что

в плоскости  $w$  точки схода следов совершают дополнительное перемещение по окружности, соответствующее заданному закону поворота  $\varphi(t)$ . Например, постулат Чаплыгина — Жуковского для угловой кромки принимает вид

$$-2U_\infty \sin(\theta + \theta_1 - \varphi) - \varphi' a \cos \theta_1 + \frac{1}{2\pi} \int_{K_1, K_2} \left( \frac{2\sigma_1}{\sigma_1^2 + \sigma_2^2} + R^{-1} \right) d\Gamma = 0.$$

Здесь  $\theta = \arg(-U_\infty)$ ;  $\theta_1 = \arctg(h/a)$ ;  $K_1, K_2$  — контуры следов в области конформного отображения;  $\sigma_1, \sigma_2$  — абсцисса и ордината декартовой системы координат с центром в точке сопряжения окружности и образа следа, сходящего с угловой кромки.

С учетом приведенных выше замечаний задача Коши для эволюции вихревых следов может быть решена численно с использованием различных способов интерполяции линий разрыва поля скоростей, таких как кусочные функции, точечные вихри и т. д. При этом о целесообразности проведения дискретизации следа с постоянной во времени интенсивностью каждой части разбиения свидетельствует сохранение суммарной завихренности элемента следа в процессе движения.

Решив задачу для уравнения (6), действующие на профиль силы можно найти интегрированием по его контуру давления, определяемого интегралом Коши — Лагранжа

$$-\frac{p}{\rho} = \operatorname{Re} \left( \frac{\partial \Phi_1}{\partial t} \Big|_{z_1 = \text{const}} \right) + \frac{1}{2} \left| \frac{\partial \Phi_1}{\partial z_1} \right|^2 + F(t).$$

Здесь  $F(t)$  — произвольная функция времени;  $\rho$  — плотность. Комплексный потенциал абсолютного движения  $\Phi_1(z_1)$  дифференцируется в абсолютной системе координат, связанной с плоскостью  $z_1$ . Однако для численной реализации целесообразно в формуле для давления перейти к пространственным переменным области конформного отображения и дифференцированию в невращающейся системе координат, связанной с центром окружности. В силу инвариантности производной в частице относительно преобразования системы координат при переходе от переменных  $z_1, t$  к переменным  $w, t$  выражение для давления преобразуется к виду

$$-\frac{P}{\rho} = \operatorname{Re} \left( \frac{\partial \Phi_1}{\partial t} \Big|_{w = \text{const}} + \frac{\partial w}{\partial t} \frac{\partial \Phi_1}{\partial w} \right) - \frac{1}{2} \left| \frac{\partial \Phi_1}{\partial w} \right|^2 \left| \frac{\partial w_2}{\partial z_2} \right|^2. \quad (7)$$

В такой форме интеграл Коши — Лагранжа может быть использован при вычислении гидродинамических нагрузок. Входящие в правую часть (7) выражения для  $\partial \Phi_1 / \partial w$  и  $\partial \Phi_1 / \partial t$  получаются непосредственным дифференцированием потенциала  $\Phi_1$ , который находится интегрированием уравнения (5) по переменной  $z_1$ . Для величины  $\partial w / \partial t$  справедливо представление

$$\frac{\partial w}{\partial t} = w i \varphi' + \frac{\partial w_2}{\partial z_2} \left( \left( \frac{\partial \Phi}{\partial w} \right) \left( \frac{\partial w_2}{\partial z_2} \right) - z_2 i \varphi' \right), \quad (8)$$

которое следует из связи решения в физической плоскости и области конформного отображения

$$\frac{\partial w_2}{\partial t} - w_2 i \varphi' = \frac{\partial w_2}{\partial z_2} \left( \frac{\partial z_2}{\partial t} - z_2 i \varphi' \right),$$

а также из уравнения движения следа  $\partial z_2 / \partial t = (\overline{\partial \Phi / \partial w})(\overline{\partial w_2 / \partial z_2})$  и равенств  $w_2 = w + e^{i\varphi} w_{2C}(0)$ ,  $\partial w_2 / \partial t = \partial w / \partial t + i \varphi' e^{i\varphi} w_{2C}(0)$ . Если в (8) взять точку  $w$  на следе:  $w = \zeta$  (что приведет к появлению интегралов в смысле главного значения), то по этой формуле можно будет найти скорости вихревых точек  $\partial \zeta / \partial t$ , которые появятся в выражении для  $\partial \Phi_1 / \partial t$ . Следует отметить, что производная  $\partial \Phi / \partial w$  в правой части (8) совпадает с производной  $\partial \hat{\Phi} / \partial w$  в (3) с точностью до слагаемого  $dw_{2C} / dt$ .

Таким образом, интеграл Коши — Лагранжа (7) в совокупности с соответствующими представлениями входящих в него величин дает решение задачи об определении гидродинамических реакций на профиле. Получаемое в результате выражение для давления хотя и громоздко, но с точки зрения численного расчета просто и удобно. В заключение следует отметить, что разработанный способ применения метода конформных отображений к задаче обтекания произвольно движущегося профиля является эффективной основой для разработки алгоритмов расчета и проведения численных исследований. В настоящей работе расчеты для гидродинамических нагрузок не проводились.

**3. Численное решение задачи.** Численно решалась кинематическая задача обтекания профиля идеальной несжимаемой жидкостью с образованием одного и двух вихревых следов. Схема расчета в целом аналогична приведенной в работе [2]. Изменения обусловлены отмеченными в пп. 1, 2 обобщениями решения на случай произвольного закона движения профиля. Результаты расчетов с одним вихревым следом сравнивались с данными эксперимента по визуализации [11, 12].

На рис. 4 представлен профиль, совершающий чисто крутильные колебания вокруг точки  $z_1 = 0$  с амплитудой  $\varphi_0 = \pi/4$  в отсутствие набегающего потока.

Образование вихревых следов на гладкой и угловой кромках происходит аналогично, однако, как и в случае чисто поступательных колебаний, имеются некоторые отли-

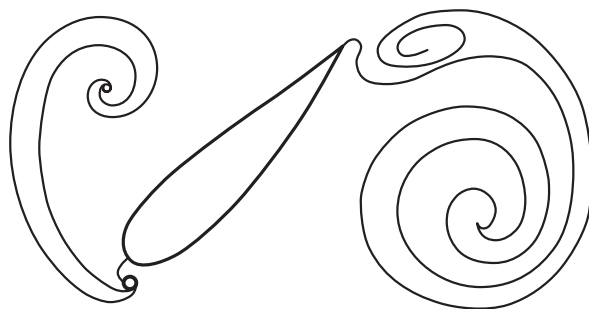


Рис. 4. Вихревые следы в случае чисто крутильных колебаний профиля

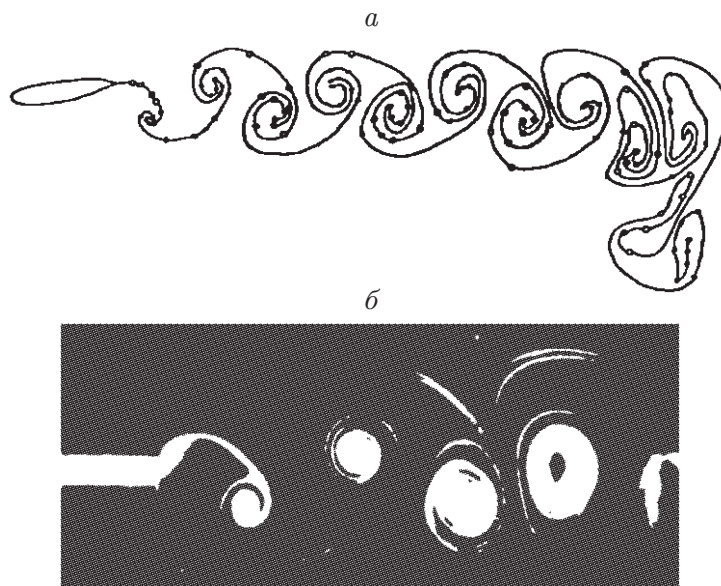


Рис. 5. Вихревые дорожки в случае крутильных колебаний профиля:  
*a* — результаты расчетов; *b* — результаты визуализации

чия [2]. На рис. 5 приведены результаты расчетов и фотография вихревой дорожки в случае крутильных колебаний вокруг точки, отстоящей от передней кромки на расстояние, равное  $1/4$  хорды профиля  $b$  (амплитуда колебаний  $\varphi_0 = 10^\circ$ , скорость набегающего потока  $V_\infty$  составляет  $0,86$  хорды за период  $T$ , угол установки (среднее положение профиля)  $\varphi_{00} = 0$ , начальная фаза колебаний  $\mu = 0$ ). В расчете  $t = 6T$ . Видно, что в течение первых двух периодов регулярная вихревая дорожка не формируется, это происходит по истечении трех и более периодов колебаний. Участок дорожки, соответствующий значению  $t < 2T$ , имеет выраженные следы, обусловленные выбором начальной фазы  $\mu$  в виде бокового к направлению дорожки импульса, которые затем быстро исчезают.

Результаты проведенного сравнения свидетельствуют о достоверности расчета. В частности, в расчете с использованием заданных в эксперименте значений параметров дорожка действительно формируется, а не смешивается и не разрушается, как, например, при  $t < 2T$ . Кроме того, расчетная картина вихревых сгустков соответствует наблюдаемой в эксперименте.

Результаты проведенных численных исследований и сопоставлений с данными по визуализации позволяют сделать вывод, что разработанный способ решения кинематической задачи обтекания и созданный на его основе алгоритм расчета пригодны при различных формах и законах движения профилей для больших амплитуд, углов атаки и чисел Струхала.

#### ЛИТЕРАТУРА

1. **Седов Л. И.** Плоские задачи гидродинамики и аэродинамики. М.: Наука, 1966.
2. **Зобнин А. И.** Расчет гидродинамических реакций на телесном профиле, колеблющемся в неподвижной жидкости // ПМТФ. 1989. № 5. С. 71–77.
3. **Graham J. M. R.** The lift and drag on an aerofoil in starting flow // J. Fluid Mech. 1983. V. 133. P. 413–425.
4. **Russel J. H., Chow C. Y.** Unsteady forces acting on a deforming Joukowski airfoil. S. l., 1986. (Paper / AIAA; N 0121).
5. **Graham J. M. R.** The forces on sharp-edged cylinders in oscillatory flow at low Keulegan — Carpenter numbers // J. Fluid Mech. 1980. V. 97. P. 331–346.
6. **Oshima Y., Oshima K.** Vortical flow behind an oscillating airfoil // Theor. and appl. mech.: Proc. of the 15th Intern. congr., Toronto, 1980. Amsterdam etc.: North-Holland Publ. Co, 1980. P. 357–368.
7. **Мусхелишвили Н. И.** Сингулярные интегральные уравнения. М.: Наука, 1968.
8. **Зобнин А. И.** Исследование начальной стадии отрывного обтекания кругового цилиндра // ПМТФ. 1983. № 5. С. 42–46.
9. **Зобнин А. И.** Моделирование начальной стадии развития вихревого следа за телесным профилем // Динамика сплошной среды / АН СССР. Сиб. отд-ние. Ин-т гидродинамики. 1983. Вып. 60. С. 51–59.
10. **Зобнин А. И.** Исследование структуры вихревого следа за профилем с угловой кромкой в начальной стадии отрывного обтекания // Гидродинамика подводного крыла / Сиб. отд-ние АН СССР. Вычисл. центр. Препр. Новосибирск, 1986. С. 71–84.
11. **Freymuth P.** Propulsive vortical signature of plunging and pitching airfoils // AIAA J. 1988. V. 26, N 7. P. 881–883.
12. **Freymuth P., Jackson S., Bank W.** Toward dynamic separation without dynamic stall // Exp. Fluids. 1989. N 7. P. 187–196.

*Поступила в редакцию 29/X 2007 г.,  
в окончательном варианте — 20/II 2008 г.*